



## 本章主要内容

1. 双边 $Z$ 变换及其收敛域ROC。
2. ROC的特征，各类信号的ROC，零极点图。
3.  $Z$ 反变换，利用部分分式展开进行反变换。
4. 由零极点图分析系统的特性。
5. 常用信号的 $Z$ 变换， $Z$ 变换的性质。
6. 用 $Z$ 变换表征LTI系统，系统函数，LTI系统的 $Z$ 变换分析法，系统的级联与并联型结构。
7. 单边 $Z$ 变换，增量线性系统的分析。

## 10.0 引言 (Introduction)

$Z$  变换与拉氏变换相对应，是离散时间傅里叶变换的推广。 $Z$  变换的基本思想、许多性质及其分析方法都与拉氏变换有相似之处。当然， $Z$  变换与拉氏变换也存在着一些重要的差异。

## 10.1 双边 Z 变换

### The z-Transform

一. 双边Z变换的定义:

$$X(z) = \sum_{n=-\infty}^{\infty} x(n)z^{-n} \quad \text{其中 } z = re^{j\omega} \text{ 是一个复数。}$$

当  $r = 1$  时,  $z = e^{j\omega}$  即为离散时间傅里叶变换。

这表明: **DTFT**就是在单位圆上进行的**Z**变换。

$$X(re^{j\omega}) = \sum_{n=-\infty}^{\infty} x(n)r^{-n}e^{-j\omega n} = \mathbb{F}[x(n)r^{-n}]$$



可见：对  $x(n)$  做  $Z$  变换就等于对  $x(n)r^{-n}$  做DTFT。

因此， $Z$  变换是对DTFT的推广。

## 二. $Z$ 变换的收敛域（ROC）：

$Z$ 变换与DTFT一样存在着收敛问题。

1. 并非任何信号的 $Z$ 变换都存在。
2. 并非 $Z$ 平面上的任何复数都能使  $X(z)$  收敛。

$Z$ 平面上那些能使  $X(z)$  收敛的点的集合，就构成了  $X(z)$  的收敛域（ROC）。

例1.  $x(n) = a^n u(n)$

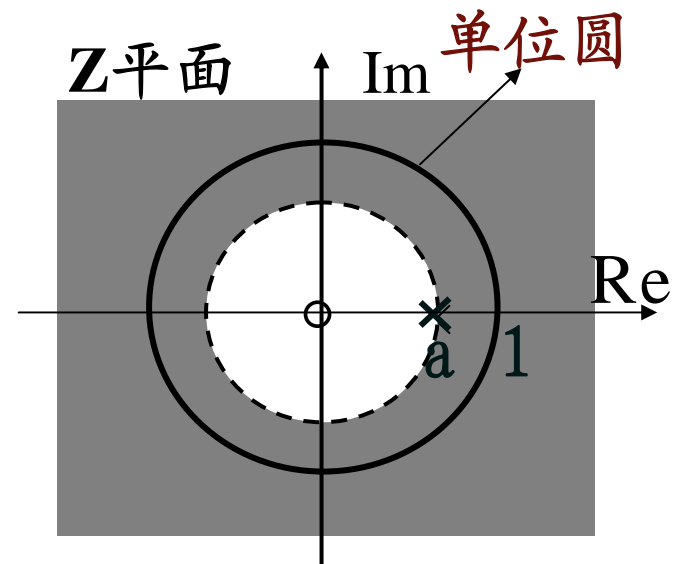
$$X(z) = \sum_{n=-\infty}^{\infty} a^n z^{-n} = \frac{1}{1 - az^{-1}} \quad |z| > |a| \text{ 时收敛}$$

当  $|a| < 1$  时，**ROC**包括了单位圆。

此时， $x(n)$ 的**DTFT**存在。

$$X(e^{j\omega}) = \frac{1}{1 - ae^{-j\omega}}$$

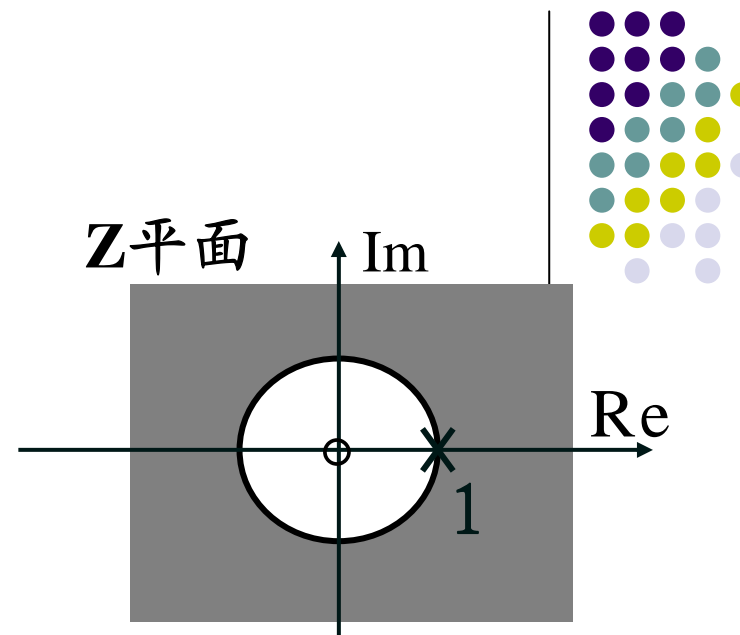
显然有  $X(z)|_{z=e^{j\omega}} = X(e^{j\omega})$



例2.  $x(n) = u(n)$

$$X(z) = \sum_{n=0}^{\infty} z^{-n} = \frac{1}{1 - z^{-1}}$$

**ROC:**  $|z| > 1$



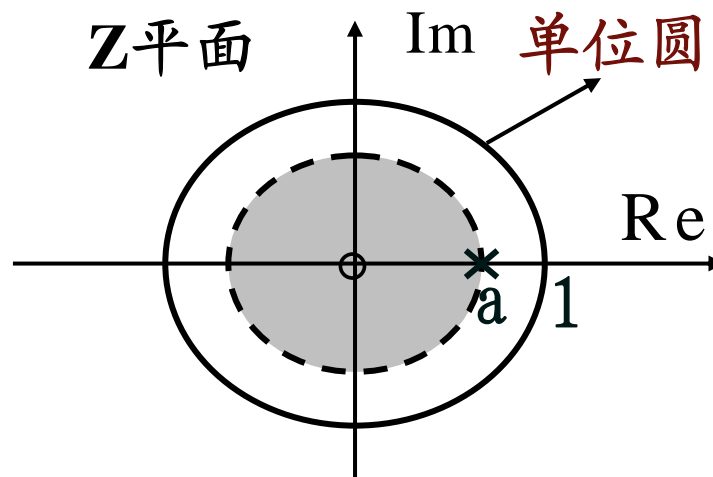
此时，ROC不包括单位圆，所以不能简单地  
从  $X(z)$  通过将  $z \rightarrow e^{j\omega}$  得到  $X(e^{j\omega})$ 。

$$X(e^{j\omega}) = \frac{1}{1 - e^{-j\omega}} + \pi \sum_{k=-\infty}^{\infty} \delta(\omega - 2\pi k)$$

例3.  $x(n) = -a^n u(-n-1)$

$$X(z) = -\sum_{n=-\infty}^{-1} a^n z^{-n} = -\sum_{n=1}^{\infty} a^{-n} z^n$$

$$= -\frac{a^{-1}z}{1-a^{-1}z} = \frac{1}{1-az^{-1}} \quad \text{ROC: } |z| < |a|$$

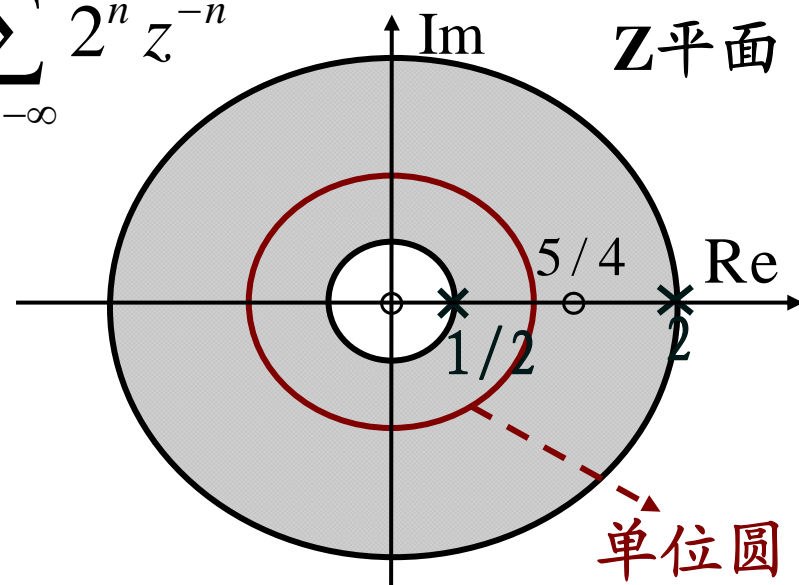


例4.  $x(n) = (\frac{1}{2})^n u(n) - 2^n u(-n-1)$

$$X(z) = \sum_{n=0}^{\infty} (\frac{1}{2})^n z^{-n} - \sum_{n=-\infty}^{-1} 2^n z^{-n}$$

$$= \frac{1}{1 - \frac{1}{2}z^{-1}} + \frac{1}{1 - 2z^{-1}}$$

$$\text{ROC: } \frac{1}{2} < |z| < 2$$



一般情况下,  $X(z)$ 的**ROC**是 **Z 平面**上一个以  
原点为中心的圆环。



## 结 论:

- 1)  $Z$ 变换存在着收敛问题, 不是任何信号都存在 $Z$ 变换, 也不是任何复数 $Z$ 都能使 $X(z)$ 收敛。
- 2) 仅仅由 $X(z)$ 的表达式不能唯一地确定一个信号, 只有 $X(z)$ 连同相应的ROC一道, 才能与信号 $x(n)$ 建立一一对应的关系。
- 3)  $Z$ 变换的ROC, 一般是 $Z$ 平面上以原点为中心的环形区域。

4) 如果  $x(n) = \sum_i x_i(n)$ , 则其**ROC**是各个  $x_i(n)$  的**ROC**的公共部分。若没有公共区域则表明  $x(n)$  的**Z** 变换不存在。

5) 当  $X(z)$  是有理函数时, 其**ROC**的边界总是由  $X(z)$  的极点所在的圆周界定的。

6) 若  $X(z)$  的**ROC**包括单位圆, 则有

$$X(e^{j\omega}) = X(z) \Big|_{z=e^{j\omega}}$$

### 三. $X(z)$ 的几何表示——零极点图:

如果  $X(z)$  是有理函数, 将其分子多项式与分母多项式分别因式分解可以得到:

$$X(z) = \frac{N(z)}{D(z)} = M \frac{\prod_i (1 - z_i z^{-1})}{\prod_p (1 - z_p z^{-1})}$$

由其全部的零、极点即可确定出  $X(z)$ , 最多相差一个常数因子  $M$ 。



因此，若在  $z$  平面上表示出  $X(z)$  的全部零、极点，即构成  $X(z)$  的几何表示——零极点图。

如果在零极点图上同时标出 ROC，则由该零极点图可以唯一地确定一个信号。

零极点图对描述 LTI 系统和分析 LTI 系统的特性，具有重要的用途。

## 10.2 Z 变换的ROC

### The Region of Convergence for the z-Transform

ROC的特征:

1.  $X(z)$  的ROC是Z平面上以原点为中心的环形区域。
2. 在ROC内,  $X(z)$ 无极点。
3. 有限长序列的ROC是整个有限Z平面 (可能不包括  $z=0$  , 或  $|z|=\infty$  ) 。



4. 右边序列的ROC是某个圆的外部，但可能不包括 $|z| = \infty$ 。

设  $x(n)$  是右边序列，定义于  $[N_1, \infty)$ ，

由  $x(n)$ ， $N_1 \leq n < \infty$ ，有  $X(z) = \sum_{n=N_1}^{\infty} x(n)z^{-n}$

若  $|z| = r_0 \in \text{ROC}$ ，则有  $\sum_{n=N_1}^{\infty} |x(n)r_0^{-n}| < \infty$

如果  $r_1 > r_0$ ，则

$$\sum_{n=N_1}^{\infty} |x(n)r_1^{-n}| = \sum_{n=N_1}^{\infty} |x(n)r_0^{-n}| \cdot \left(\frac{r_0}{r_1}\right)^n$$

$$\leq \sum_{n=N_1}^{\infty} \left| x(n) r_0^{-n} \right| \cdot \left( \frac{r_0}{r_1} \right)^{N_1} < \infty \quad \therefore |z| = r_1 \in \text{ROC}$$

当  $N_1 < 0$  时, 由于  $X(z)$  的展开式中有若干个  $z$  的正幂项, 此时  $|z|$  不能为  $\infty$ 。

**5. 左边序列的ROC是某个圆的内部, 但可能不包括  $z = 0$ 。**

若  $r_0 \in \text{ROC}$ ,  $r_1 < r_0$ , 则有

$$\sum_{n=-\infty}^{N_1} \left| x(n) r_1^{-n} \right| = \sum_{n=-\infty}^{N_1} \left| x(n) r_0^{-n} \right| \cdot \left( \frac{r_0}{r_1} \right)^n$$

$$\leq \sum_{n=-\infty}^{N_1} \left| x(n) r_0^{-n} \right| \cdot \left( \frac{r_0}{r_1} \right)^{N_1} < \infty \quad \therefore r_1 \in \text{ROC}$$

当  $N_1 > 0$  时，由于  $X(z)$  的展开式中包括有若干个  $z$  的负幂项，所以  $z$  不能为零。

6. 双边序列的  $z$  变换如果存在，则 ROC 必定是一个环形区域。

例1.  $x(n) = \begin{cases} a^n, & 0 \leq n \leq N-1, \\ 0, & \text{其它 } n \end{cases} \quad a > 0$



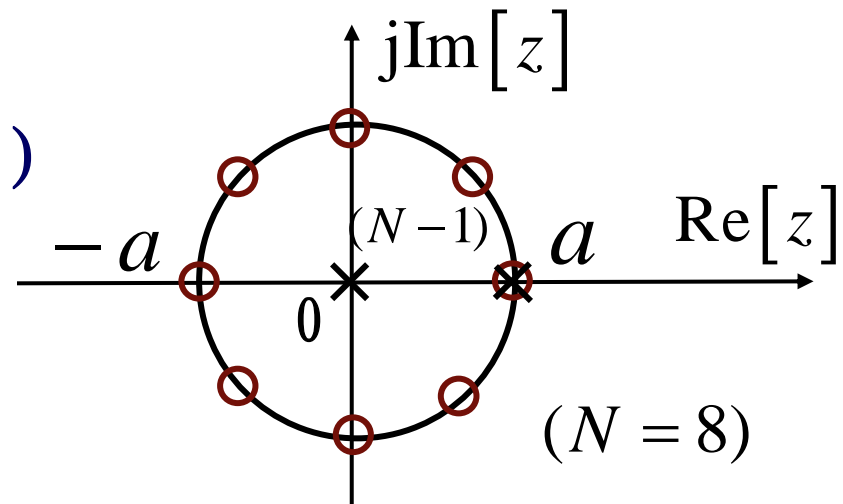
$$X(z) = \sum_{n=0}^{N-1} a^n z^{-n} = \frac{1 - a^N z^{-N}}{1 - az^{-1}} = \frac{z^N - a^N}{z^{N-1}(z - a)}$$

极点:  $z = a$  (一阶)

$z = 0$  ( $N-1$ 阶)

零点:  $z = ae^{j\frac{2\pi}{N}k}$

( $k = 0, 1 \dots N-1$ )



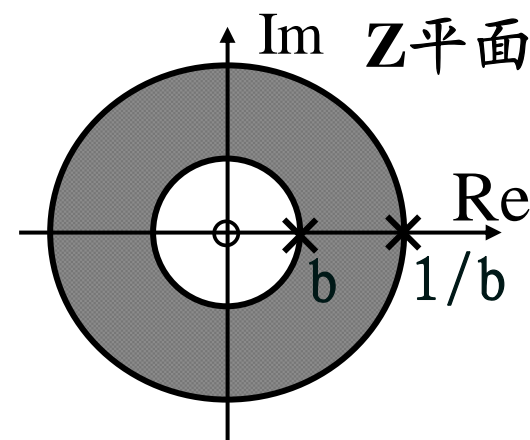
在  $z = a$  处, 零极点抵消, 使有限  $Z$  平面内  
无极点。ROC:  $|z| > 0$  (即整个有限  $Z$  平面)

**例2.**  $x(n) = b^{|n|}$ ,  $b > 0$

$$x(n) = b^n u(n) + b^{-n} u(-n-1)$$

$$b^n u(n) \leftrightarrow \frac{1}{1 - bz^{-1}}, \quad |z| > b$$

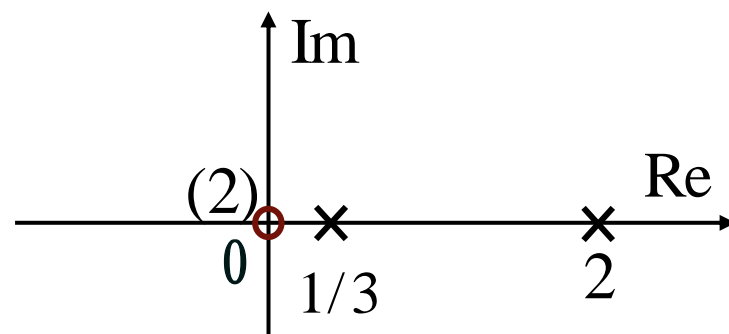
$$b^{-n} u(-n-1) \leftrightarrow -\frac{1}{1 - b^{-1}z^{-1}}, \quad |z| < b^{-1}$$



在  $b > 1$  时，两部分的收敛域无公共部分，  
表明此时  $X(z)$  不存在。

$0 < b < 1$  时，**ROC** 为  $b < |z| < 1/b$

例3.  $X(z) = \frac{1}{(1 - \frac{1}{3}z^{-1})(1 - 2z^{-1})}$



极点:  $z_1 = \frac{1}{3}, \quad z_2 = 2$

零点:  $z = 0$  (二阶)

若其ROC为:

- ①  $|z| > 2$  则  $x(n)$  为右边序列, 且是因果的, 但其傅里叶变换不存在。

②  $|z| < \frac{1}{3}$  时  $x(n)$  是左边序列，且是反因果的，其傅里叶变换不存在。

③  $\frac{1}{3} < |z| < 2$  时  $x(n)$  是双边序列，其傅里叶变换存在。

ROC是否包括 $|z| = \infty$ ，是 $x(n)$ 是否因果的标志。

ROC是否包括 $z = 0$ ，是 $x(n)$ 是否反因果的标志。

ROC若包含单位圆，则  $X(e^{j\omega}) = X(z)|_{z=e^{j\omega}}$ 。

## 10.3 Z-反变换

### The Inverse Z-Transform

#### 一. Z-反变换:

$$\because X(re^{j\omega}) = \sum_{n=-\infty}^{\infty} x(n)r^{-n}e^{-j\omega n}$$

$$\therefore x(n)r^{-n} = \frac{1}{2\pi} \int_{2\pi} X(re^{j\omega})e^{j\omega n} d\omega$$

$$x(n) = \frac{1}{2\pi} \int_{2\pi} X(re^{j\omega})r^n e^{j\omega n} d\omega$$

令  $z = re^{j\omega}$  , 则  $dz = jre^{j\omega} d\omega = jz d\omega$

当  $\omega$  从  $0 \rightarrow 2\pi$  时,  $Z$  沿着 ROC 内半径为  $r$  的圆变化一周。

$$\therefore x(n) = \frac{1}{2\pi j} \oint_C X(z) z^{n-1} dz$$

其中  $C$  是 ROC 中逆时针方向的圆周。

二. 反变换的求取:

1. 部分分式展开法:

当  $X(z)$  是有理函数时, 可将其展开为部分分式

$$X(z) = \sum_i \frac{A_i}{1 - a_i z^{-1}} \quad (\text{假定 } X(z) \text{ 是有理真分式})$$



- 步骤：
1. 求出 $X(z)$ 的所有极点 $a_i$ ；
  2. 将 $X(z)$ 展开成部分分式；
  3. 根据总的ROC，确定每一项的ROC；
  4. 利用常用变换对和Z变换的性质求出每一项的反变换。

例： 
$$X(z) = \frac{3 - \frac{5}{6}z^{-1}}{(1 - \frac{1}{4}z^{-1})(1 - \frac{1}{3}z^{-1})} \quad \frac{1}{4} < |z| < \frac{1}{3}$$

将 $X(z)$ 展开成部分分式有：

$$X(z) = \frac{1}{1 - \frac{1}{4}z^{-1}} + \frac{2}{1 - \frac{1}{3}z^{-1}} \quad \begin{array}{l} \text{ROC}_1 : |z| > 1/4 \\ \text{ROC}_2 : |z| < 1/3 \end{array}$$

$$\therefore x(n) = \left(\frac{1}{4}\right)^n u(n) - 2\left(\frac{1}{3}\right)^n u(-n-1)$$

## 2. 幂级数展开法: (长除法)

由  $X(z)$  的定义, 将其展开为幂级数, 有

$$X(z) = \cdots + x(-n)z^n + \cdots + x(-1)z + x(0) + x(1)z^{-1} + x(2)z^{-2} + \cdots + x(n)z^{-n} + \cdots$$



展开式中  $z^{-n}$  项的系数即为  $x(n)$ 。当  $X(z)$  是有理函数时，可以通过长除的方法将其展开为幂级数。

- ❖ 由于右边序列的展开式中应包含无数多个  $z$  的负幂项，所以要按降幂长除。
- ❖ 由于左边序列的展开式中应包含无数多个  $z$  的正幂项，所以要按升幂长除。
- ❖ 对双边序列，先要将其分成对应信号的右边和左边的两部分，再分别按上述原则长除。

例.  $X(z) = \frac{1 + \frac{1}{2}z^{-1}}{1 - \frac{5}{6}z^{-1} + \frac{1}{6}z^{-2}}$

$$\frac{1}{3} < |z| < \frac{1}{2}$$

$$X(z) = \frac{6}{1 - \frac{1}{2}z^{-1}} - \frac{5}{1 - \frac{1}{3}z^{-1}}$$

$$\text{ROC}_1 : |z| < 1/2$$

$$\text{ROC}_2 : |z| > 1/3$$

$$\text{ROC}_1 \quad \text{ROC}_2$$

所以前一项按升幂长除，后一项按降幂长除。

幂级数展开法的缺点是当  $X(z)$  较复杂（含多个极点时）难以得出  $x(n)$  的闭式。

$$\begin{array}{r}
 -\frac{1}{2}z^{-1} + 1 \bigg) \overline{ \begin{array}{l} -12z - 24z^2 - 48z^3 - \dots \\ 6 \\ \hline 6 - 12z \\ \dots 12z \\ \hline \dots 12z - 24z^2 \\ \dots \dots 24z^2 \\ \hline \dots \dots 24z^2 - 48z^3 \\ \dots \dots \dots 48z^3 \end{array} }
 \end{array}$$

$$-6\left(\frac{1}{2}\right)^n u(-n-1)z^{-n}$$



分子与分母均按  
升幂的次序排列，  
然后进行长除。

$$-6\left(\frac{1}{2}\right)^n u(-n-1)$$



$$\begin{array}{r}
 1 - \frac{1}{3}z^{-1} \bigg) \overline{ \begin{array}{l} 5 + \frac{5}{3}z^{-1} + \frac{5}{9}z^{-2} + \dots \\ 5 \\ \hline 5 - \frac{5}{3}z^{-1} \\ \hline \dots \frac{5}{3}z^{-1} \\ \hline \dots \frac{5}{3}z^{-1} - \frac{5}{9}z^{-2} \\ \hline \dots \frac{5}{9}z^{-2} \end{array} }
 \end{array}$$

分子与分母均按  
降幂的次序排列，  
然后进行长除。

$$5\left(\frac{1}{3}\right)^n u(n)$$

$$\therefore x(n) = -6\left(\frac{1}{2}\right)^n u(-n-1) - 5\left(\frac{1}{3}\right)^n u(n)$$



**3. 留数法：** 对有理函数的  $X(z)$  由留数定理有：

$$x(n) = \frac{1}{2\pi j} \oint_c X(z) z^{n-1} dz = \sum_i \text{Res}[X(z) z^{n-1}, z_i]$$

$z_i$  是  $C$  内的极点。

$$n \geq 0 \text{ 时, } x(n) = \sum_i \text{Res}[X(z) z^{n-1}, z_i]$$

$z_i$  是  $C$  内的极点。

$$n < 0 \text{ 时, } x(n) = - \sum_i \text{Res}[X(z) z^{n-1}, z_i]$$

$z_i$  是  $C$  外的极点。

## 10.4. 由零极点图对离散时间傅里叶变换几何求值

### Geometric Evaluation of the Fourier Transform from the Pole-Zero Plot

当ROC包括 $|z|=1$ 时，Z变换在单位圆上的情况就是  $X(e^{j\omega})$ ，因此也可以利用零极点图对其进行几何求值。

其方法与拉氏变换时完全类似：



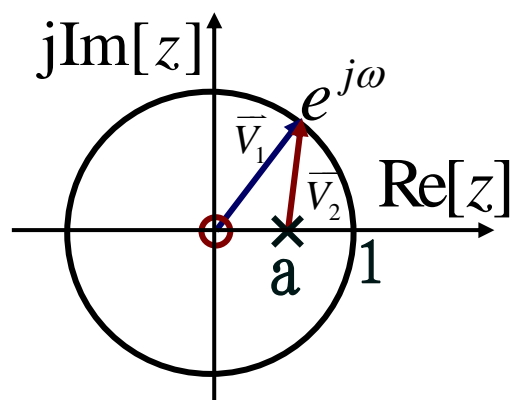
考查动点在单位圆上移动一周时，各极点矢量和零点矢量的长度与幅角的变化情况，即可反映系统的频率特性。

**例1. 一阶系统**  $y(n) - ay(n-1) = x(n)$

$$H(z) = \frac{1}{1 - az^{-1}}, \quad |z| > a \qquad h(n) = a^n u(n)$$

当  $|a| < 1$  时，**ROC** 包括单位圆。

$$H(e^{j\omega}) = \frac{1}{1 - ae^{-j\omega}}$$



$$|H(e^{j\omega})| = |\vec{V}_1| / |\vec{V}_2|$$

显然,  $|\vec{V}_1| = 1$ ,  $|H(e^{j\omega})|$  取决于  $|\vec{V}_2|$  的变化。

❖ 当  $0 < a < 1$  时,

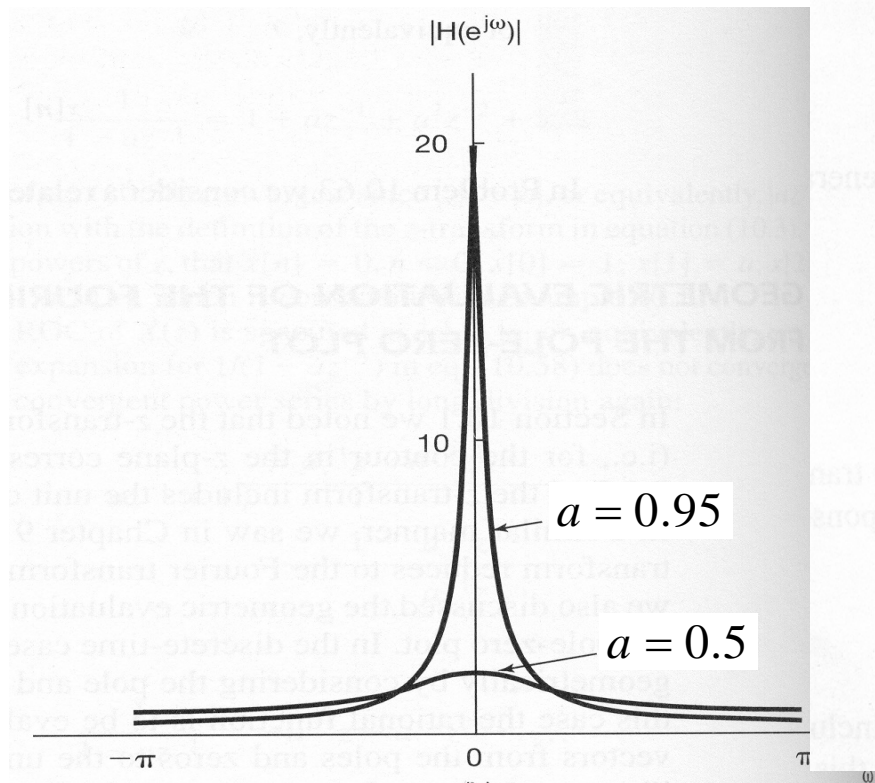
在  $\omega = 0$  处,  $|H(e^{j\omega})|$  有最大值。

当  $\omega = \pi$  时,  $|H(e^{j\omega})|$  有最小值。

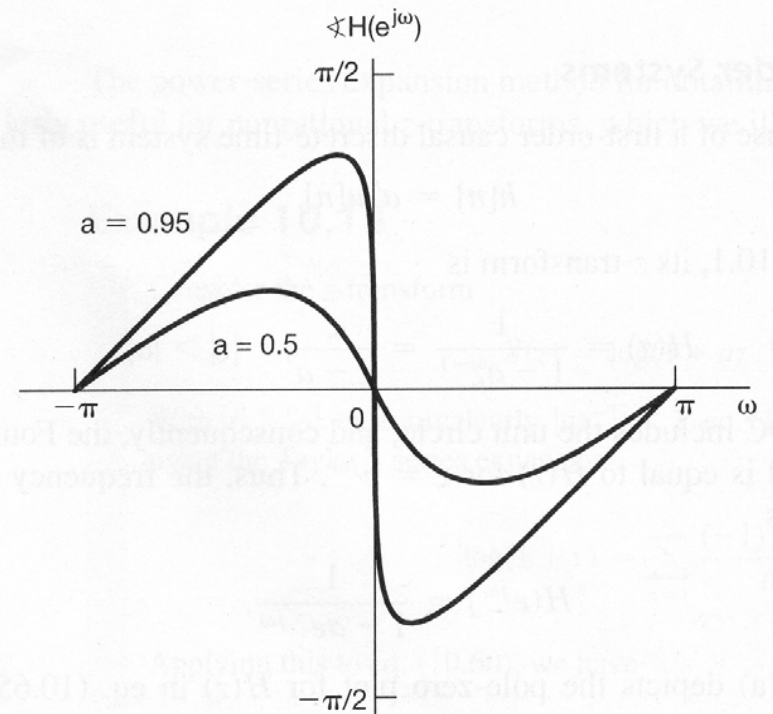
$|H(e^{j\omega})|$  随  $\omega$  呈单调变化。



## 一阶系统的频率特性: $0 < a < 1$

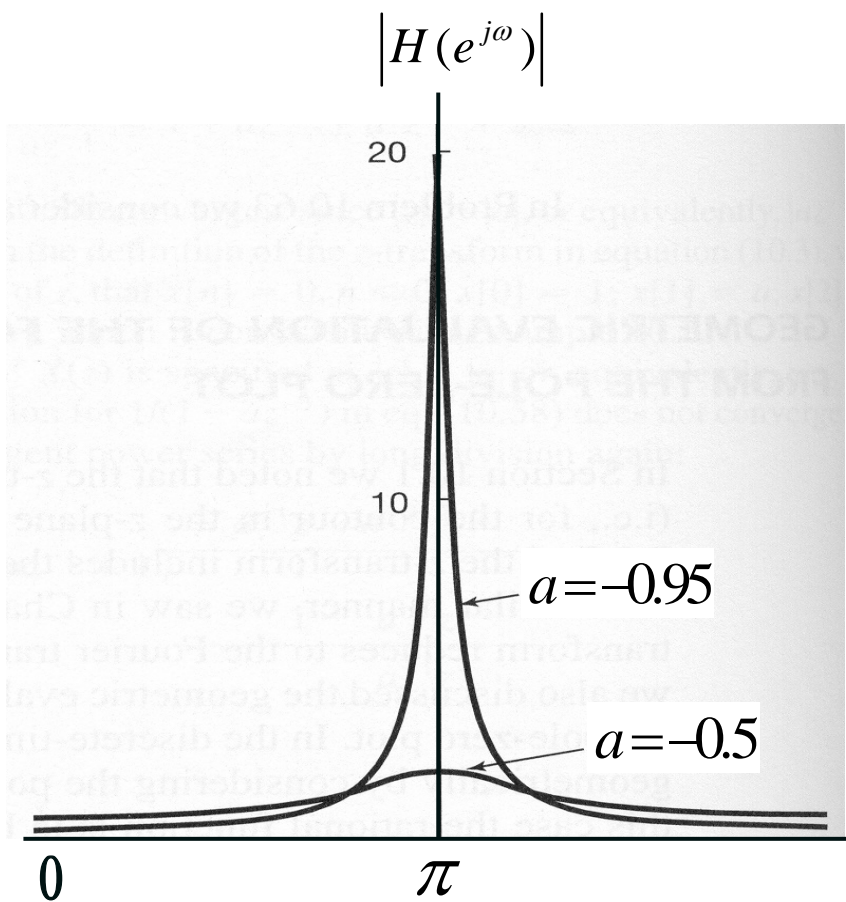


幅频特性

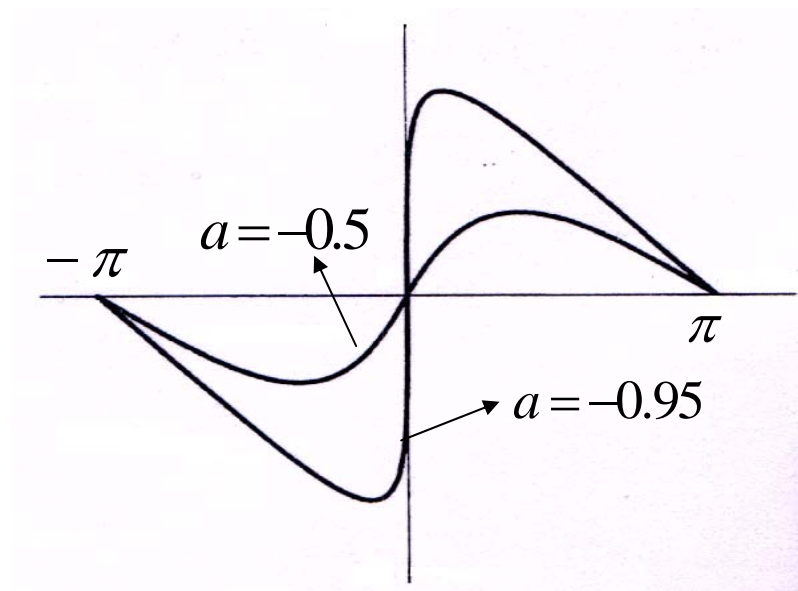
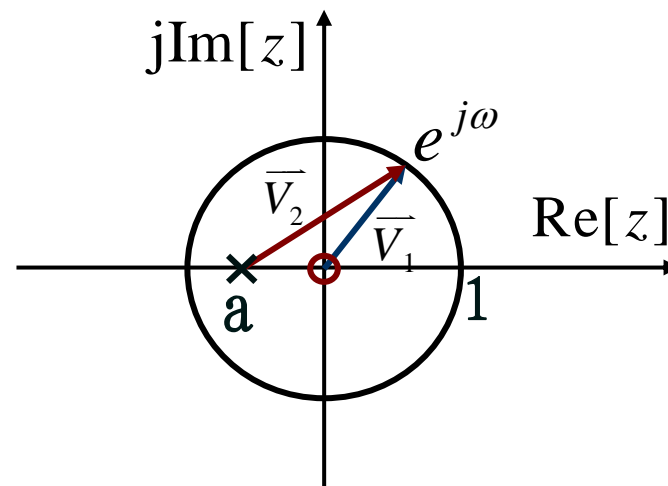


相频特性

❖ 当  $-1 < a < 0$  时,



幅频特性



相频特性

可以看出：

- $|a|$  越小，极点靠原点越近，系统的频率响应越平缓，系统的带宽越宽；此时  $h(n)$  衰减越快， $s(n)$  上升越快。
- $|a|$  越大，极点靠单位圆越近，系统频响越尖锐，频响的极大值越大，系统带宽越窄，相位的非线性程度越厉害。

## 例2. 二阶系统:

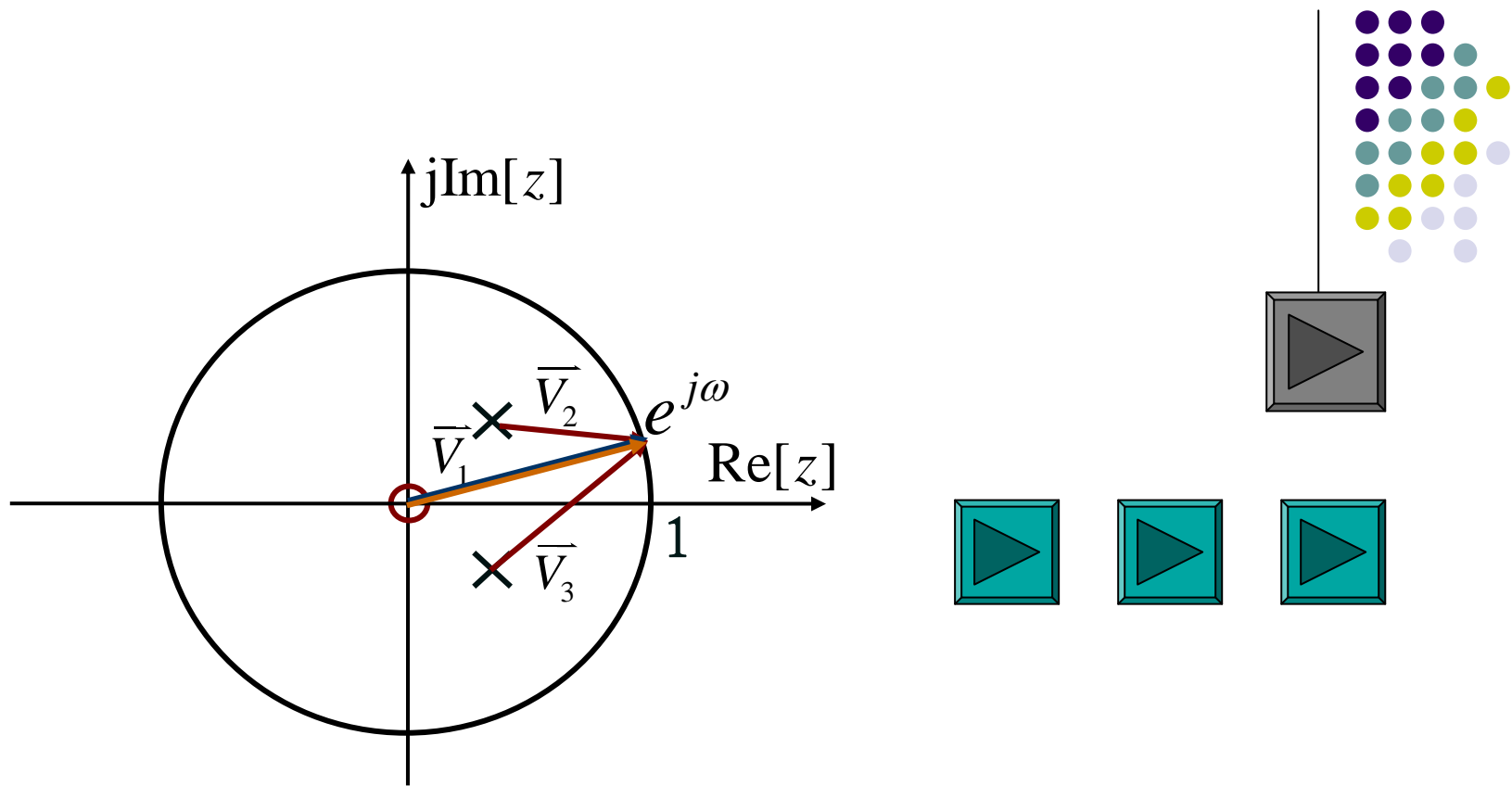
$$y(n) - 2r \cos \theta y(n-1) + r^2 y(n-2) = x(n)$$

$$0 < r < 1, \quad 0 \leq \theta \leq \pi \quad (\text{系统欠阻尼})$$

$$H(z) = \frac{1}{1 - 2r \cos \theta z^{-1} + r^2 z^{-2}}$$

$$h(n) = r^n \frac{\sin(n+1)\theta}{\sin \theta} u(n)$$

$$\text{极点: } z_{1,2} = r e^{\pm j\theta} \quad \text{零点: } z = 0 \quad (\text{二阶})$$



考查动点在单位圆上移动一周时，各极点矢量和零点矢量的长度与幅角的变化情况，即可得到二阶系统的频率特性。



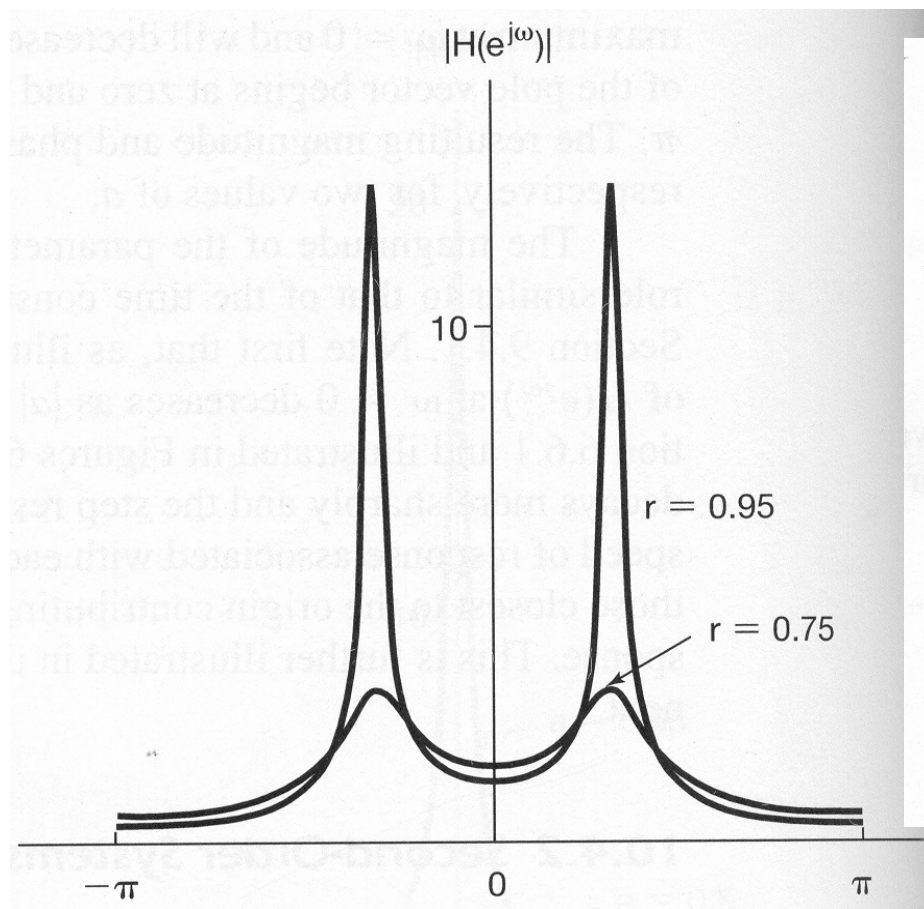
当 $\omega$ 从 $0 \rightarrow \pi$ 时，在靠近 $\omega = \pm\theta$ 处频率响应会出现极大值。

若 $r$ 越接近于1， $|H(e^{j\omega})|$ 的峰值越尖锐。由于极点远离原点， $h(n)$ 和 $s(n)$ 的变化速率越慢。

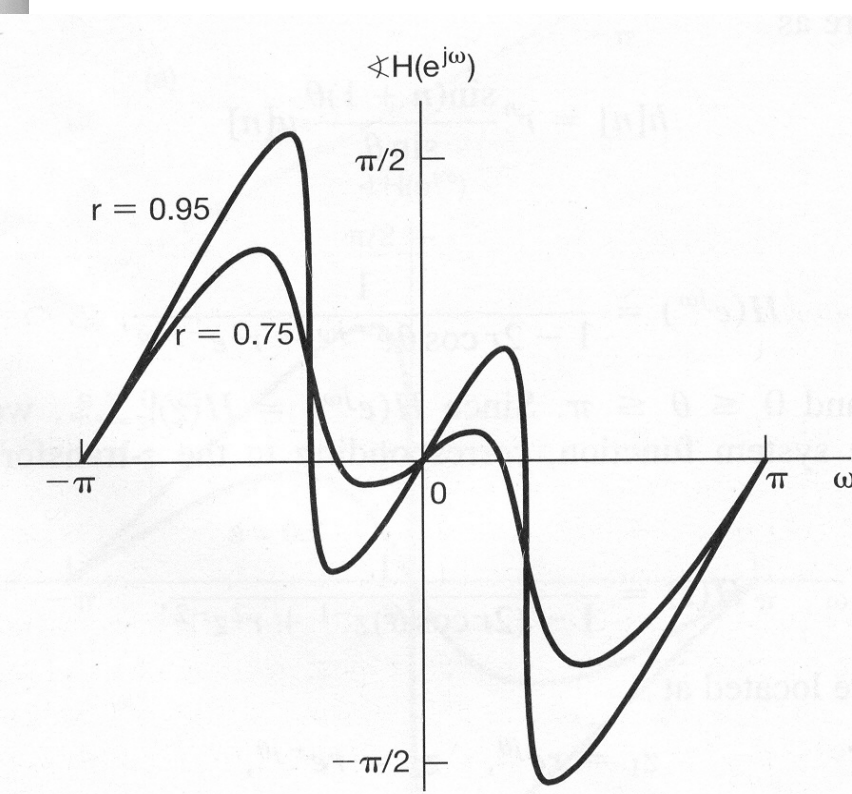
随着 $r$ 减小，极点逐步靠近原点，频率响应趋于平坦，而 $h(n)$ 和 $s(n)$ 的变化速率会加快。



二阶系统的频率特性:  $0 < r < 1, 0 \leq \theta \leq \pi$

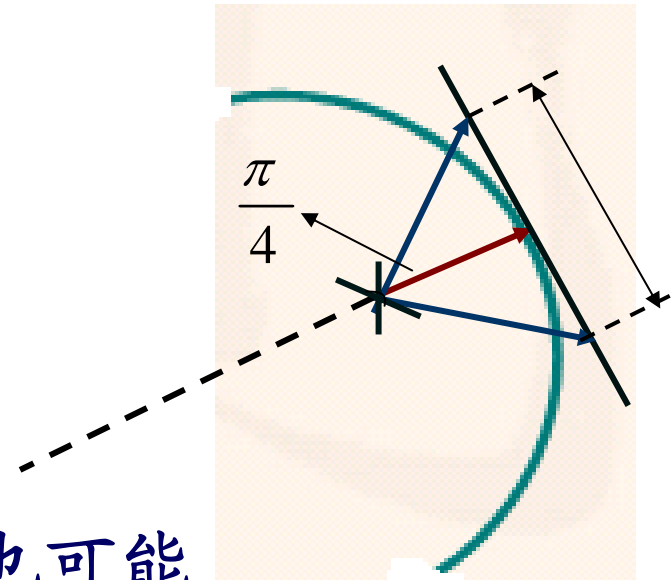


幅频特性



相频特性

当极点很靠近单位圆时，也可以从零极点图粗略确定系统的带宽。



更一般的情况，二阶系统也可能有两个实数极点，此时系统处于过阻尼或者欠阻尼状态。其特性相当于两个一阶系统级联的结果。  
(二阶系统具有重阶正实数极点的情况)





## 10.5 Z变换的性质

### Properties of the Z-transform

Z变换的许多性质与DTFT的性质相似，其推论方法也相同。这里主要讨论其ROC的变化。

#### 1. 线性:

$$x_1(n) \leftrightarrow X_1(z) \quad \text{ROC: } R_1$$

$$x_2(n) \leftrightarrow X_2(z) \quad \text{ROC: } R_2$$

则  $ax_1(n) + bx_2(n) \leftrightarrow aX_1(z) + bX_2(z)$

ROC: 包括  $R_1 \cap R_2$

❖ 如果在线性组合过程中出现零极点相抵消，  
则**ROC**可能会扩大。

## 2. 时移:

若  $x(n) \leftrightarrow X(z)$       ROC:  $R$

则  $x(n - n_0) \leftrightarrow X(z)z^{-n_0}$

ROC:  $R$  但在  $z = 0$  和  $|z| = \infty$  可能会有增删。

❖ 由于信号时移可能会改变其因果性，故会使**ROC** 在  $z = 0$ ,  $|z| = \infty$  有可能发生改变。



### 3. Z 域尺度变换:

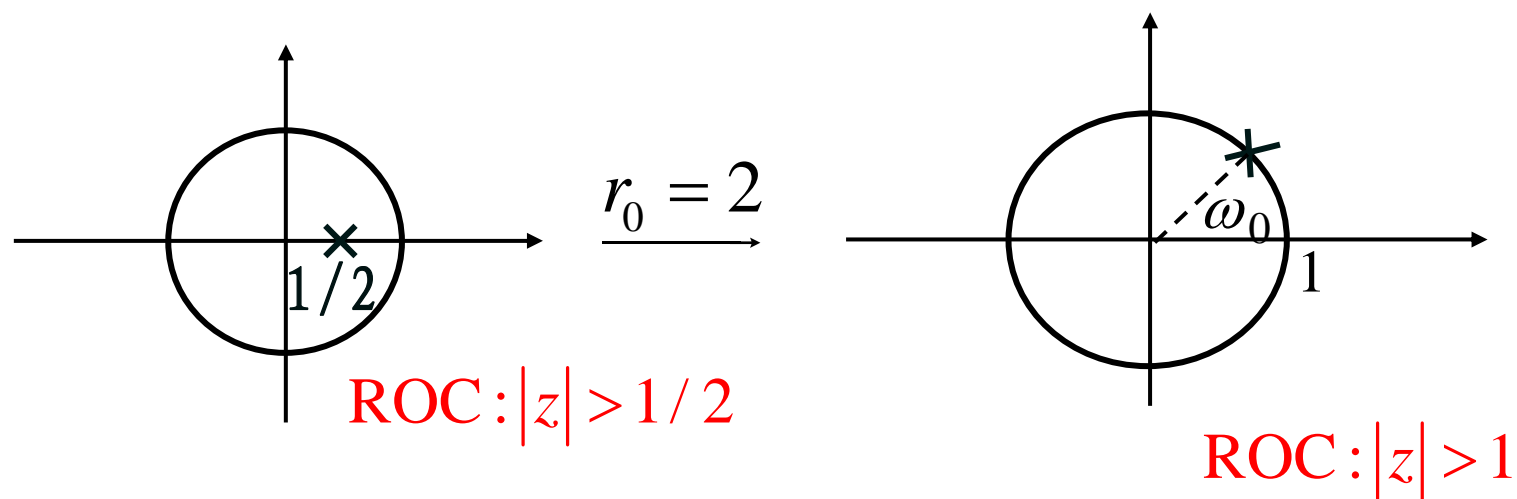
若  $x(n) \leftrightarrow X(z)$       ROC:  $R$

则  $z_0^n x(n) \leftrightarrow X(z/z_0)$       ROC:  $|z_0|R$

$\because |z| \in R$  时  $X(z)$  收敛, 故  $|z/z_0| \in R$  时,  $X(z/z_0)$  收敛。

$\therefore |z| \in |z_0|R$       当  $z_0 = e^{j\omega_0}$  时, 即为移频特性。

若  $z_0$  是一般复数  $z_0 = r_0 e^{j\omega_0}$ , 则  $X(z/z_0)$  的零极点不仅要将在  $X(z)$  的零极点逆时针旋转一个角度  $\omega_0$ , 而且在径向有  $r_0$  倍的尺度变化。



#### 4. 时域反转:

若  $x(n) \leftrightarrow X(z)$       ROC:  $R$

则  $x(-n) \leftrightarrow X(z^{-1})$       ROC:  $1/R$  (收敛域边界倒置)

❖ 信号在时域反转, 会引起  $X(z)$  的零、极点分布按倒量对称发生改变。

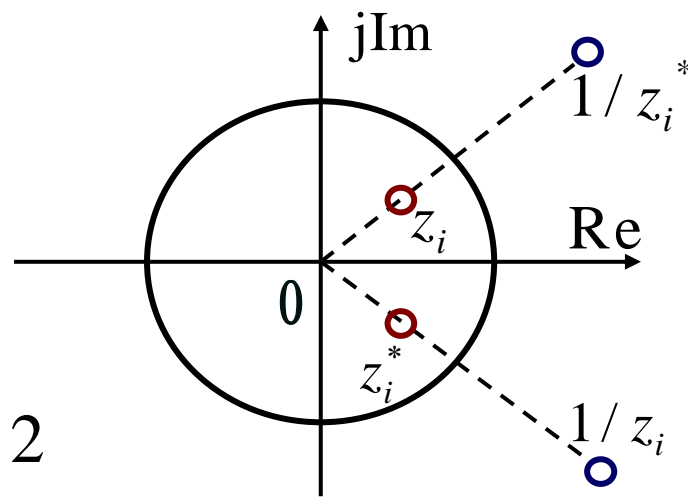
❖ 如果  $z_i$  是  $X(z)$  的零/极点, 则  $1/z_i$  就是  $X(z^{-1})$  的零/极点。实序列时  $z_i^*$  也是  $X(z)$  的零/极点, 因此  $1/z_i^*$  也是  $X(z^{-1})$  的零/极点。

即:  $X(z)$  与  $X(z^{-1})$  的零极点呈共轭倒数对称。

例: 若  $X(z)$  的 ROC 为

$$\frac{1}{2} < |z| < \frac{3}{2}$$

则  $X(z^{-1})$  的 ROC 为  $\frac{2}{3} < |z| < 2$



## 5. 时域内插:

若  $x(n) \leftrightarrow X(z)$     ROC:  $R$

$$x_k(n) = \begin{cases} x(n/k) & n \text{ 为 } k \text{ 的整数倍} \\ 0 & \text{其它 } n \end{cases}$$

则  $x_k(n) \leftrightarrow X(z^k)$     ROC:  $R^{1/k}$

证明:

$$X_k(z) = \sum_{n=-\infty}^{\infty} x_k(n) z^{-n} = \sum_{\substack{r=-\infty \\ n=rk}}^{\infty} x(r) z^{-rk} = X(z^k)$$

## 6. 共轭对称性:

$$\text{若 } x(n) \leftrightarrow X(z) \quad \text{ROC: } R$$

$$\text{则 } x^*(n) \leftrightarrow X^*(z^*) \quad \text{ROC: } R$$

❖ 当  $x(n)$  是实信号时,  $x^*(n) = x(n)$ , 于是有

$$X(z) = X^*(z^*)$$

表明如果  $X(z)$  有复数零极点, 必共轭成对出现。

## 7. 卷积性质:

$$\text{若 } x_1(n) \leftrightarrow X_1(z) \quad \text{ROC: } R_1$$

$$x_2(n) \leftrightarrow X_2(z) \quad \text{ROC: } R_2$$

则  $x_1(n) * x_2(n) \leftrightarrow X_1(z)X_2(z)$  ROC包括  $R_1 \cap R_2$

如果在相乘时出现零极点抵消的情况则**ROC**可能会扩大。

$$\begin{aligned} x_1(n) * x_2(n) &\leftrightarrow \sum_{n=-\infty}^{\infty} \sum_{m=-\infty}^{\infty} x_1(m)x_2(n-m)z^{-n} \\ &= \sum_{m=-\infty}^{\infty} x_1(m)X_2(z)z^{-m} = X_1(z)X_2(z) \end{aligned}$$

该性质是**LTI系统Z变换分析法的理论基础**。



## 8. Z 域微分:

$$\text{若 } x(n) \leftrightarrow X(z) \quad \text{ROC: } R$$

$$\text{则 } nx(n) \leftrightarrow -z \frac{dX(z)}{dz} \quad \text{ROC: } R$$

利用该性质可以方便地求出某些非有理函数  $X(z)$  的反变换, 或具有高阶极点的  $X(z)$  的反变换。

$$\text{例1. } X(z) = \ln(1 + az^{-1}) \quad |z| > |a|$$



$$\therefore \frac{dX(z)}{dz} = \frac{-az^{-2}}{1+az^{-1}}$$

$$-z \frac{dX(z)}{dz} = \frac{az^{-1}}{1+az^{-1}} \leftrightarrow a(-a)^{n-1}u(n-1) = nx(n)$$

$$\therefore x(n) = \frac{a}{n}(-a)^{n-1}u(n-1) = -\frac{1}{n}(-a)^n u(n-1)$$

**例2:**  $X(z) = \frac{az^{-1}}{(1-az^{-1})^2} \quad |z| > |a|$

$$\therefore a^n u(n) \leftrightarrow \frac{1}{1-az^{-1}} \quad |z| > |a|$$

$$\frac{d}{dz} \left( \frac{1}{1-az^{-1}} \right) = -\frac{az^{-2}}{(1-az^{-1})^2}$$

$$-z \frac{d\hat{X}(z)}{dz} = \frac{az^{-1}}{(1-az^{-1})^2} \quad \therefore x(n) = na^n u(n)$$

## 9. 初值定理:

若  $x(n)$  是因果信号, 且  $x(n) \leftrightarrow X(z)$

则  $x(0) = \lim_{z \rightarrow \infty} X(z)$

证明: 将  $X(z)$  按定义式展开有:

$$X(z) = x(0) + x(1)z^{-1} + x(2)z^{-2} + \cdots + x(n)z^{-n} + \cdots$$

显然当  $z \rightarrow \infty$  时有  $\lim_{z \rightarrow \infty} X(z) = x(0)$

## 10. 终值定理：

若  $x(n)$  是因果信号，且  $x(n) \leftrightarrow X(z)$ ， $X(z)$  除了在  $z=1$  可以有一阶极点外，其它极点均在单位圆内，则  $\lim_{n \rightarrow \infty} x(n) = \lim_{z \rightarrow 1} (z-1)X(z)$

证明：

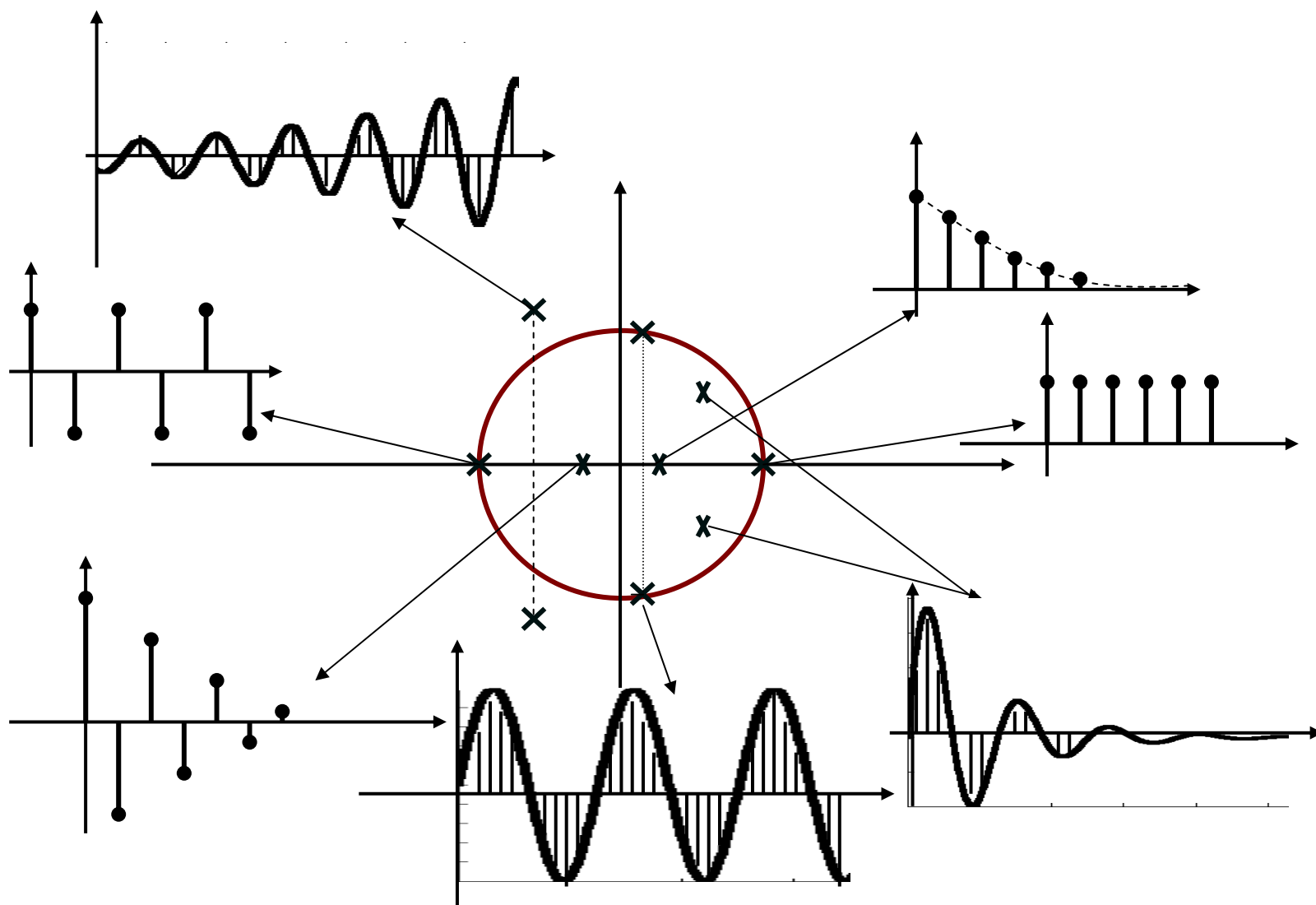
$\because x(n) = 0, n < 0$ ， $X(z)$  除了在  $z=1$  可以有单阶极点外，其它极点均在单位圆内，

$\therefore (z-1)X(z)$  在单位圆上无极点

$$\begin{aligned}
\lim_{z \rightarrow 1} (z-1)X(z) &= \lim_{z \rightarrow 1} \sum_{n=-1}^{\infty} [x(n+1) - x(n)]z^{-n} \\
&= \lim_{m \rightarrow \infty} \sum_{n=-1}^m [x(n+1) - x(n)] \\
&= \lim_{m \rightarrow \infty} [x(0) - x(-1) + \textcolor{red}{x(1)} - \textcolor{red}{x(0)} + \cdots + \textcolor{blue}{x(m+1)} - \textcolor{blue}{x(m)}] \\
&= \lim_{m \rightarrow \infty} x(m+1) = \lim_{n \rightarrow \infty} x(n)
\end{aligned}$$

这其实表明：如果  $x(n)$  有终值存在，则其终值等于  $X(z)$  在  $z=1$  处的留数。

$$\lim_{z \rightarrow 1} (z-1)X(z) = \text{Res}[X(z), 1]$$



**Z平面上极点位置与信号模式的关系示意图**

## 10.6 常用信号的Z变换对

### Some Common Z-Transform Pairs

(自学)

## 10.7 利用Z变换分析与表征LTI系统

### Analysis and Characterization of LTI Systems Using Z-Transforms

#### 一. 系统特性与 $H(z)$ 的关系:

LTI系统的特性可以由  $h(n)$  或  $H(e^{j\omega})$  描述, 因而也可以由  $H(z)$  连同ROC来表征。



$H(z)$ 称为系统函数。系统的特性应该在系统函数中有所表现。

1. 因果性：如果LTI系统是因果的，则  $n < 0$  时有  $h(n) = 0$ ，所以， $H(z)$ 的ROC是最外部极点的外部，并且包括  $|z| = \infty$ 。

2. 稳定性：若LTI系统稳定，则  $\sum_{n=-\infty}^{\infty} |h(n)| < \infty$ ，即  $h(n)$ 的DTFT存在，表明单位圆在  $H(z)$ 的ROC内。即  $H(z)$ 的ROC必须包括单位圆。



因此，因果稳定的LTI系统其  $H(z)$  的全部极点必须位于单位圆内。反之亦然？

当  $H(z)$  是关于  $z$  的有理函数时，因果性要求  $H(z)$  分子的阶数不能高于分母的阶数。

## 二. LTI系统的Z变换分析法:

分析步骤:

- 1) 由  $x(n)$  求得  $X(z)$  及其 ROC:  $R_1$ 。
- 2) 由系统的描述求得  $H(z)$  及其 ROC:  $R_2$ 。

3) 由  $Y(z) = X(z)H(z)$  得出  $Y(z)$  并确定它的  
ROC: 包括  $R_1 \cap R_2$  。

4) 对  $Y(z)$  做反变换得到  $y(n)$  。

三. 由LCCDE描述的LTI系统的  $H(z)$ :

由差分方程描述的LTI系统, 其方程为

$$\sum_{k=0}^N a_k y(n-k) = \sum_{k=0}^N b_k x(n-k)$$

对方程两边做 Z 变换可得:

$$\sum_{k=0}^N a_k z^{-k} Y(z) = \sum_{k=0}^N b_k z^{-k} X(z) \quad \text{—— 代数方程}$$

$$H(z) = \frac{Y(z)}{X(z)} = \frac{\sum_{k=0}^N b_k z^{-k}}{\sum_{k=0}^N a_k z^{-k}} \quad \text{是一个有理函数。}$$

$H(z)$ 的**ROC**需要通过其它条件来确定，如：

1. 系统的因果性或稳定性。
2. 方程是否具有一组零初始条件等。

**例：**由下列差分方程做出网络结构，并求其系统函数  $H(z)$  和单位脉冲响应  $h(n)$ 。

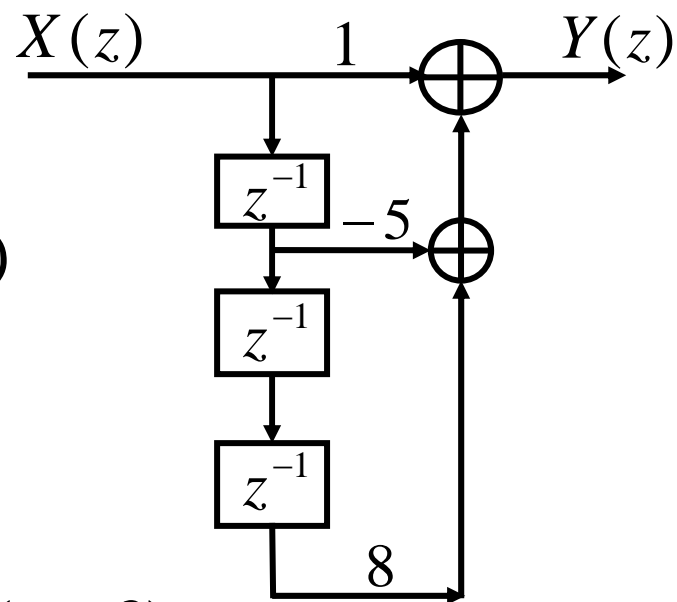
$$(1) \quad y(n] = x(n] - 5x(n-1] + 8x(n-3]$$

**解：**由方程可得

$$Y(z) = (1 - 5z^{-1} + 8z^{-3})X(z)$$

$$H(z) = 1 - 5z^{-1} + 8z^{-3}$$

$$h(n] = \delta(n] - 5\delta(n-1] + 8\delta(n-3]$$



**FIR 系统**

$$(2) \quad y(n] - 3y[n-1] + 3y[n-2] - y[n-3] = x[n]$$

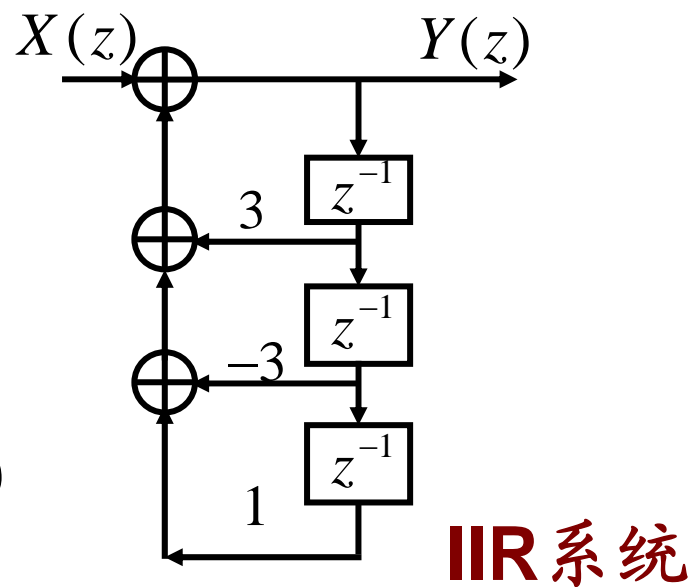
解：由方程可得

$$(1 - 3z^{-1} + 3z^{-2} - z^{-3})Y(z) = X(z)$$

$$H(z) = \frac{1}{(1 - z^{-1})^3}$$

利用 Z 变换的性质可得

$$h[n] = \frac{1}{2}(n+1)(n+2)u[n]$$

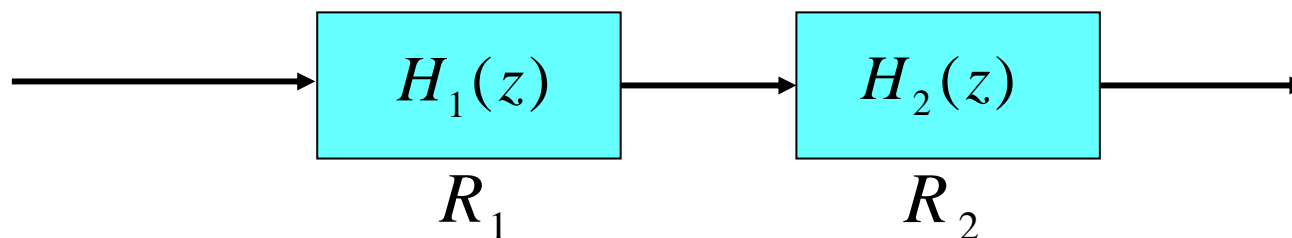


## 10.8 系统函数的代数属性与方框图表示

### System Function Algebra and Block Diagram Representations

一. 系统互联时的系统函数:

1. 级联:

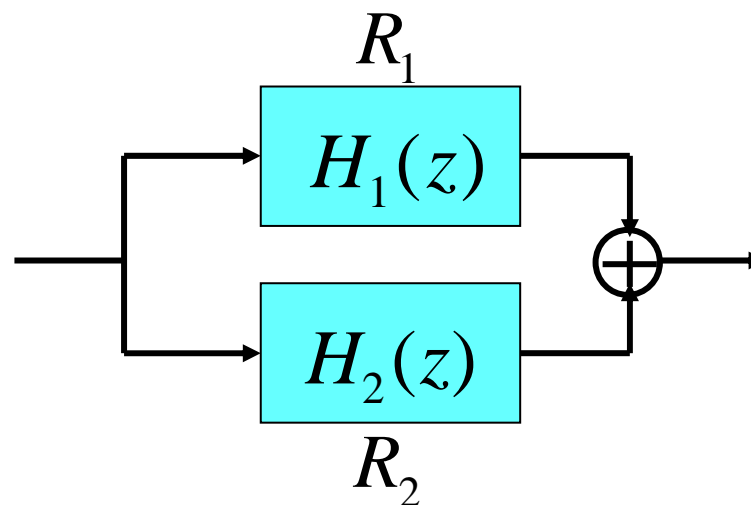


$$H(z) = H_1(z)H_2(z) \quad \text{ROC 包括 } R_1 \cap R_2$$

## 2. 并联:

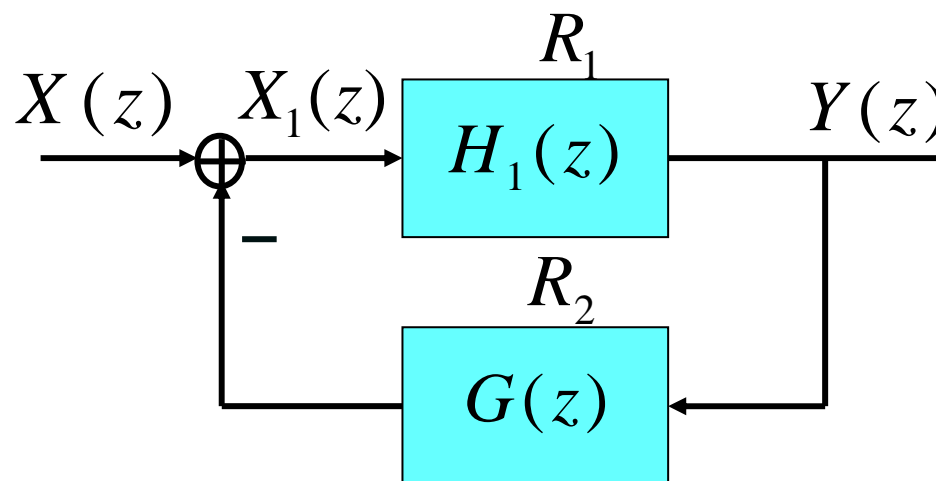
$$H(z) = H_1(z) + H_2(z)$$

ROC包括  $R_1 \cap R_2$



## 3. 反馈联接:

由系统框图可  
列出如下方程:



$$X_1(z) = X(z) - Y(z)G(z)$$

$$Y(z) = X_1(z)H_1(z)$$

$$= X(z)H_1(z) - Y(z)H_1(z)G(z)$$

$$H(z) = \frac{H_1(z)}{1 + H_1(z)G(z)} \quad \text{ROC: 包括 } R_1 \cap R_2$$

## 二. LTI系统的级联型与并联型结构:

由LCCDE描述的LTI系统，其系统函数是有理函数，可将其因式分解或展开成部分分式。



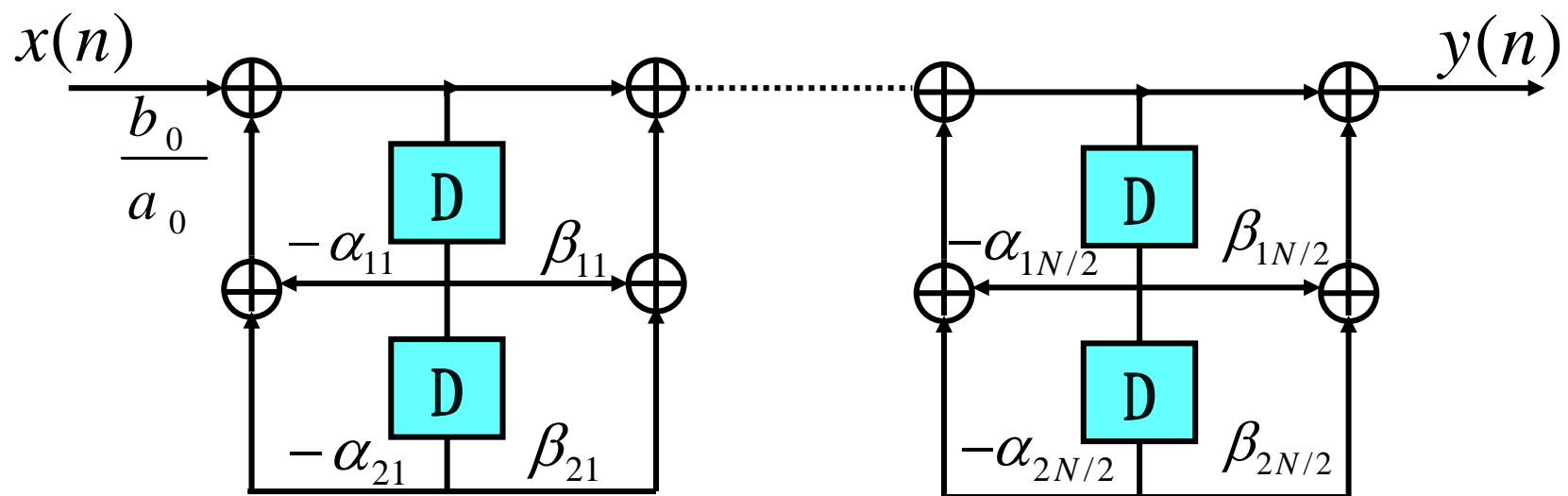
## 1. 级联型:

将 $H(z)$ 因式分解, 在无重阶零极点时可得

$$H(z) = \frac{\sum_{k=0}^N b_k z^{-k}}{\sum_{k=0}^N a_k z^{-k}} = \frac{b_0}{a_0} \prod_{k=1}^N \frac{1 + \mu_k z^{-1}}{1 + \eta_k z^{-1}} \quad \text{N为偶数时}$$
$$= \frac{b_0}{a_0} \prod_{k=1}^{N/2} \frac{1 + \beta_{1k} z^{-1} + \beta_{2k} z^{-2}}{1 + \alpha_{1k} z^{-1} + \alpha_{2k} z^{-2}} = \frac{b_0}{a_0} \prod_{k=1}^{N/2} H_k(z)$$

其中 $H_k(z)$ 是二阶（或一阶）系统函数。

由此即可得系统的级联型结构:



**LTI系统的级联型结构**

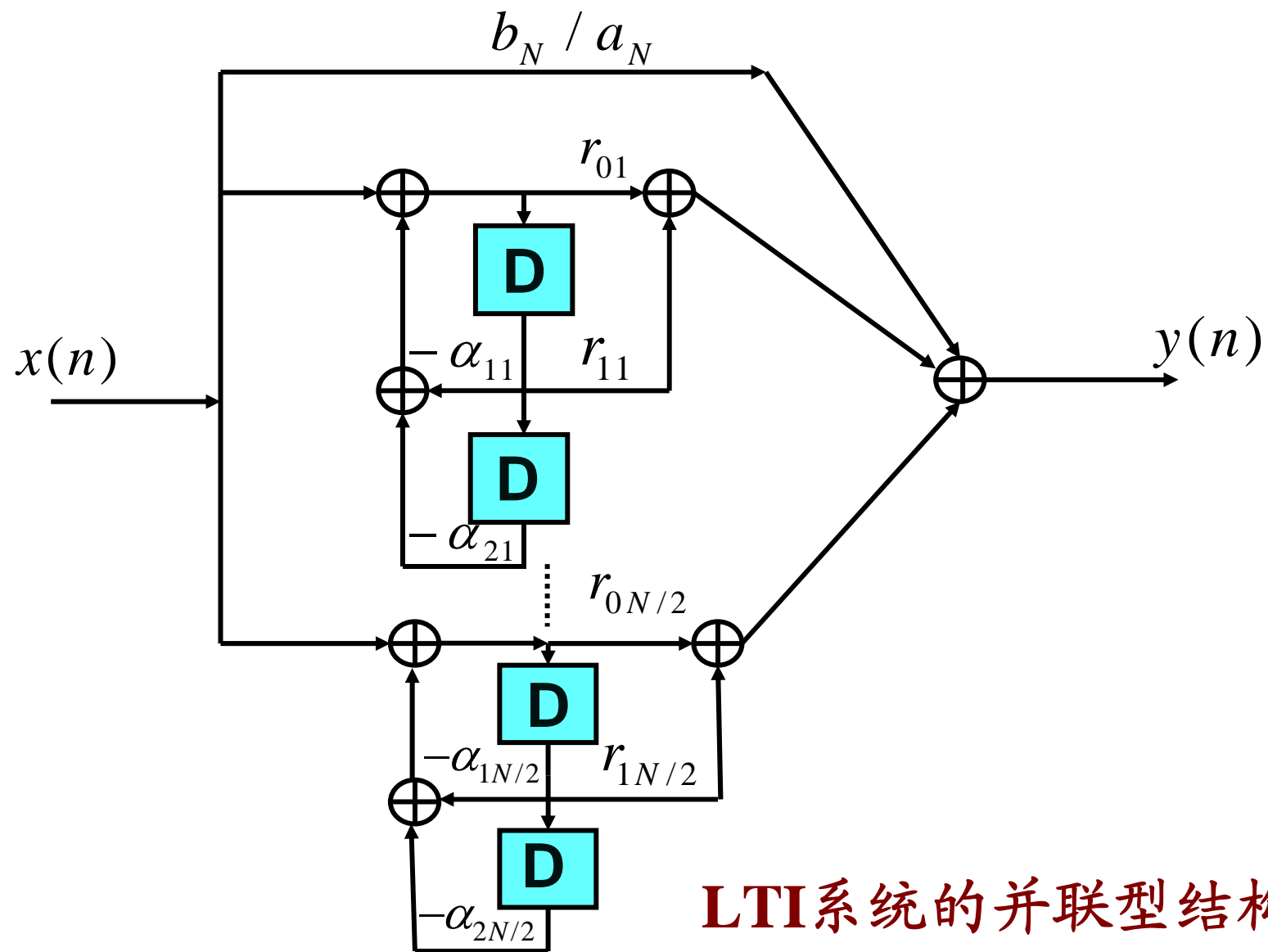
## 2. 并联型:

将 $H(z)$ 展开成部分分式, 在无重阶极点时有

$$H(z) = \frac{b_N}{a_N} + \sum_{k=1}^N \frac{A_k}{1 + \eta_k z^{-1}} \quad \text{N为偶数时}$$

$$= \frac{b_N}{a_N} + \sum_{k=1}^{N/2} \frac{r_{0k} + r_{1k} z^{-1}}{1 + \alpha_{1k} z^{-1} + \alpha_{2k} z^{-2}}$$

$$= \frac{b_N}{a_N} + \sum_{k=1}^{N/2} H_k(z)$$



**LTI系统的并联型结构**

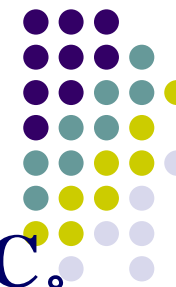
## 10.9 单边Z变换:

### The Unilateral Z-Transform

#### 一. 单边Z变换:

$$\chi(z) = \sum_{n=0}^{\infty} x(n)z^{-n}$$

单边Z变换是双边Z变换的特例，也就是因果信号的双边Z变换。因此单边Z变换 $\chi(z)$ 的ROC一定是最外部极点的外部，并且包括 $|z| = \infty$ 。



所以在讨论单边Z变换时，不再强调其ROC。

它的反变换也一定与双边Z变换的反变换一致。

$$x(n) = \frac{1}{2\pi j} \oint_c \chi(z) z^{n-1} dz$$

如果信号  $x(n)$  不是因果序列，则其双边Z变换  $X(z)$  与单边Z变换  $\chi(z)$  不同。

**例1:**  $x(n) = a^n u(n)$

对其做双边Z变换有：

$$X(z) = \frac{1}{1 - az^{-1}} \quad |z| > |a|$$

对其做单边Z变换有：

$$\chi(z) = \frac{1}{1 - az^{-1}} \quad |z| > |a| \quad \text{显然} \quad \chi(z) = X(z)$$

**例2.**  $x(n) = a^{n+1}u(n+1)$

对其做双边Z变换有：  $X(z) = \frac{z}{1 - az^{-1}} \quad |z| > |a|$

对其做单边Z变换有：

$$\chi(z) = \sum_{n=0}^{\infty} a^{n+1} z^{-n} = \frac{a}{1 - az^{-1}} \quad |z| > |a|$$

可见  $\chi(z) \neq X(z)$

这是因为  $x(n)$  在  $n < 0$  的部分对双边Z变换起作用，而对单边Z变换不起作用所致。

## 二. 单边Z变换的性质:

只要所涉及的信号是因果信号，单边Z变换除了时移特性与双边Z变换略显不同外，其它性质与双边Z变换的情况是一致的。



时移特性:

若  $x(n) \leftrightarrow \chi(z)$

则  $x(n-1) \leftrightarrow z^{-1}\chi(z) + x(-1)$

$x(n+1) \leftrightarrow z\chi(z) - zx(0)$

**Proof:**

$$\begin{aligned}\sum_{n=0}^{\infty} x(n-1)z^{-n} &= \sum_{m=-1}^{\infty} x(m)z^{-(m+1)} \\ &= x(-1) + z^{-1} \sum_{m=0}^{\infty} x(m)z^{-m} \\ &= z^{-1}\chi(z) + x(-1)\end{aligned}$$

同理可推得:

$$x(n-2) \leftrightarrow z^{-2}\chi(z) + z^{-1}x(-1) + x(-2)$$

**Proof:**

$$\begin{aligned}\sum_{n=0}^{\infty} x(n+1)z^{-n} &= \sum_{m=1}^{\infty} x(m)z^{-(m-1)} \\ &= \sum_{m=0}^{\infty} x(m)z^{-(m-1)} - x(0)z = z\chi(z) - zx(0)\end{aligned}$$

同理可推得:

$$x(n+2) \leftrightarrow z^2\chi(z) - z^2x(0) - zx(1)$$

单边Z变换在将LCCDE变换为代数方程时，  
可以自动将方程的初始条件引入，因而  
在分析增量线性系统问题时特别有用。

三. 利用单边Z变换分析增量线性系统：

$$y(n) + 3y(n-1) = x(n),$$

$$x(n) = u(n), \quad y(-1) = 1$$

$$\text{则 } \tilde{Y}(z) + 3[z^{-1}\tilde{Y}(z) + y(-1)] = \chi(z) = \frac{1}{1 - z^{-1}}$$

$$\text{由差分方程可得 } H(z) = \frac{1}{1 + 3z^{-1}}$$

$$\tilde{Y}(z) = \frac{1}{1+3z^{-1}}[\chi(z)-3]$$

$$= \underbrace{\frac{\chi(z)}{1+3z^{-1}}}_{\text{零状态响应}} + \underbrace{\frac{-3}{1+3z^{-1}}}_{\text{零输入响应}} = H(z)\chi(z) + \underbrace{\frac{-3}{1+3z^{-1}}}_{\text{零输入响应}}$$

$$= \frac{1}{(1-z^{-1})(1+3z^{-1})} - \frac{3}{1+3z^{-1}} = \frac{1/4}{1-z^{-1}} - \frac{9/4}{1+3z^{-1}}$$

$$\therefore y(n) = \left[ \frac{1}{4} - \frac{9}{4}(-3)^n \right] u(n) = \frac{1}{4} [1 - 9(-3)^n] u(n)$$

$$= \frac{1}{4} [1 - (-3)^{n+2}] u(n)$$

强迫响应

自然响应

## 10.10 小结: Summary

1. 建立了对离散时间信号和系统进行Z变换分析的方法，讨论的基本方法及许多结论分别与第九章和第五章相对应。
2. 与拉氏变换的情况对照，可以发现 S 平面与 Z 平面之间存在着一种映射关系， $z = e^{sT}$  就是这种映射关系。

将连续时间信号  $x_c(t)$  采样，可以得到：

$$x_p(t) = \sum_{n=-\infty}^{\infty} x_c(nT)\delta(t-nT)$$

对其做拉氏变换有： $X_p(s) = \sum_{n=-\infty}^{\infty} x_c(nT)e^{-snT}$

对采样所得到的样本序列  $x(n) = x_c(nT)$  做 **Z** 变换有：

$$x(n) \leftrightarrow X(z) = \sum_{n=-\infty}^{\infty} x_c(nT)z^{-n}$$

比较两式，可以得出 **S** 平面与 **Z** 平面之间有：

$$z = e^{sT} \quad \text{—— S平面与Z平面之间的映射关系}$$



$$\because z = re^{j\omega}, s = \sigma + j\Omega \quad \therefore r = e^{\sigma T}, \omega = \Omega T$$

映射过程:

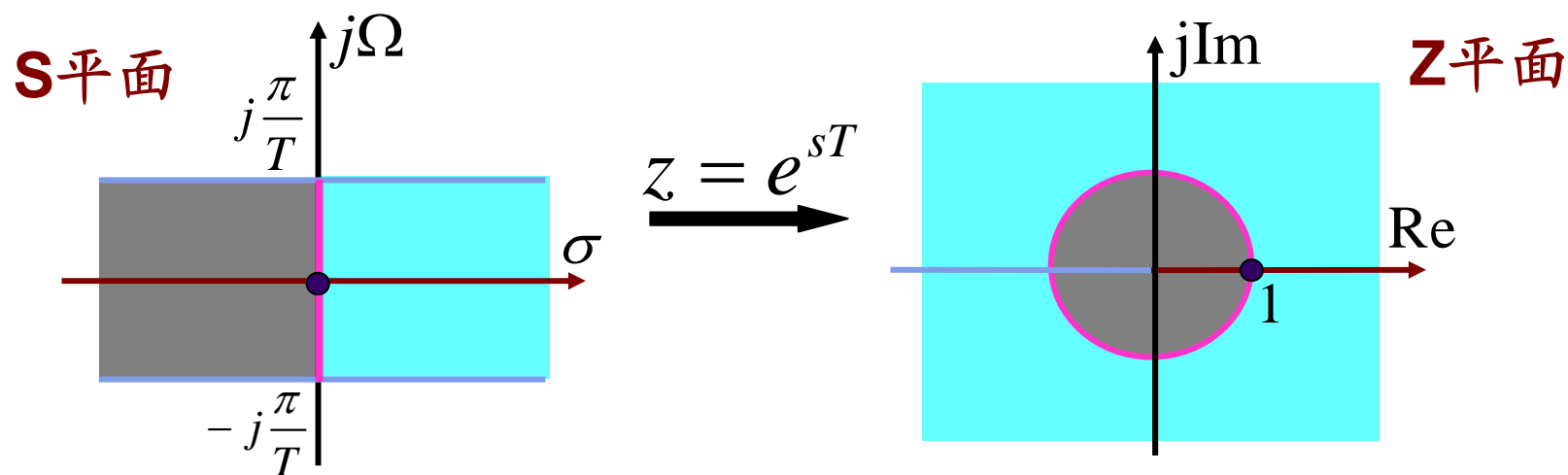
$$\sigma < 0, \quad r < 1$$

$$\sigma > 0, \quad r > 1$$

$$\sigma = 0, \quad r = 1$$

$$-\pi \leq \omega \leq \pi, \quad -\frac{\pi}{T} \leq \Omega \leq \frac{\pi}{T}$$

$$\omega = 0, \quad \Omega = 0$$



这种映射关系在数字信号处理，特别是数字系统设计中是非常重要的。明确了这种关系就很容易对 $Z$ 变换与拉氏变换的关系及差异之处有更清楚的认识。

3. 利用 $Z$ 变换分析LTI系统，较之DTFT具有更方便，适用范围更广泛的优点。

4. 单边 $Z$ 变换是分析增量线性系统的有力工具。





- 第一次：6, 8, 12, 15
- 第二次：17, 22, 27, 29, 31
- 第三次：20, 34, 46, 48